

### III-45 土のせん断特性を評価するパラメーターについて

京都大学防災研究所 正員 松岡 元

土の状態を評価するパラメーターとしては、Cambridge学派(Roscoe et al)の提唱する( $e$ ,  $p$ ,  $\gamma$ )座標( $e$ :間隔比,  $p$ :平均有効主応力,  $\gamma$ :偏差応力)が現在のところ最も普及しているようである。土のせん断特性が応力の絶対値ではなく応力比によって規定されることは数多くの実験事実からも確からしいと思われる。応力比といつても上述の  $\gamma/p$  (-般的には  $T_{\text{eff}}/\sigma_m$ ;  $T_{\text{eff}}$ :正八面体せん断応力,  $\sigma_m (=p)$ ), 主応力比  $\sigma_1/\sigma_3$ , モービライズ面上のせん断・垂直応力比  $T/\sigma_m$  等が考えられ、研究者によつてまちまちの整理がなされていゝる。土のせん断特性がいかなる指標によって一義的に規定されるかについては、せん断時の土の内部機構に係わる重要な問題であるので、ここでは  $\gamma/p$  ( $= (\sigma_1 - \sigma_3)/\sigma_m$ ) 説と  $T/\sigma_m$  (三軸圧縮・伸張の場合には  $\sigma_1/\sigma_3$  に対応する)説について、主に三軸圧縮・伸張試験結果を比較検討し、土がいかなる法則に従う材料であるかを考察する。

1. ダイレイタンシー ( $\Delta V/V$ ) について 図-1, 2 は龍岡他<sup>1)</sup>による相模川砂の三軸圧縮(○印)および三軸伸張(●印)試験結果( $\sigma_m$ 一定)より得られたダイレイタンシー ( $\Delta V/V$ ) とそれとの  $\gamma/p$  ( $= (\sigma_1 - \sigma_3)/\sigma_m$ ),  $T/\sigma_m$  の関係を示したものである。この両図より  $\Delta V/V$  のピーク(最大圧縮)時の応力比の値は、 $\gamma/p$  の整理とは三軸圧縮と三軸伸張試験でかなりはがれることに加え、 $T/\sigma_m$  の整理では共にはば一致するががられる。なお両図中の実線の曲線は  $\lambda = 1.2$ ,  $\mu = 0.28$ ,  $\mu' = 0.46$  として算定した計算曲線を示す(詳細は文献 図-1.  $\Delta V/V \sim (\sigma_1 - \sigma_3)/\sigma_m$  関係 ( $\sigma_m = 1.0 \text{ kg/cm}^2$ , loose)<sup>2), 3)</sup> を参照)。このように傾向は、二種以外の砂あるいは粘土についても一貫してみられるものである。

2. 応力比へのひずみ増分比関係について 図-3 は同じ砂の三軸圧縮(白印)と三軸伸張(黒印)試験結果<sup>1)</sup> ( $\sigma_m$ 一定)を Cambridge 学派の主張する  $\gamma/p$  と  $d(\Delta V/V)/d(\epsilon_1 - \epsilon_3)$ <sup>2)</sup> 整理したものである。この図より明らかのように、二つの整理では三軸圧縮と三軸伸張<sup>2)</sup>の継軸切片、勾配ともかなり異なるのがみられる。しかし二つの学派はあらゆる応力状態においてこの整理が同一直線上にプロットされることを重視する基本式として理論を組立てている。二種に付して 図-4 は同じ砂の三軸圧縮(○印:  $\sigma_m = 1.0 \text{ kg/cm}^2$ , loose)と三軸伸張(●印:  $\sigma_m = 3.0 \text{ kg/cm}^2$ , loose)試験結果<sup>1)</sup>を着者の主張する 1) のモービライズ面上のせん断・垂直応力比  $T/\sigma_m$  と垂直せん断ひずみ増分比  $d\epsilon_1/d\gamma$  の関係<sup>2)</sup> 整理したものである。この整理によれば三軸圧縮、三軸伸張ともほぼ同一直線上に整理されるのがみられる。二つの直線の勾配が  $\lambda$  (=1.2), 継軸切片が  $\mu$  (=0.28)である。

3. 非排水せん断時の応力経路について 図-5, 6 は同じ砂の非排水三軸圧縮(○印)・三軸伸張(●印)試験の有効応力経路<sup>1)</sup>をそれぞれ  $\gamma = (\sigma_1 - \sigma_3)$  ~  $p$  ( $= \sigma_m$ ) 関係と  $T$  ~  $\sigma_m$  関係<sup>2)</sup> 整理したものである。この両図より、有効応力経路が左から右へ反転する点、およびピーク強度時の応力比が、 $\gamma$  ~  $p$  関係の整理<sup>2)</sup> は三軸圧縮と三軸伸張<sup>2)</sup> がなりがれるのに伴し(Cambridge 学派のいう State Boundary Surface<sup>5)</sup> が  $y$  軸に対して対称<sup>2)</sup> ない)、 $T$  ~  $\sigma_m$  関係の整理<sup>2)</sup> は共にはば一致するのがみられる。二種に付して 図-3.  $(\sigma_1 - \sigma_3)/\sigma_m$  ~  $d(\Delta V/V)/d(\epsilon_1 - \epsilon_3)$  関係

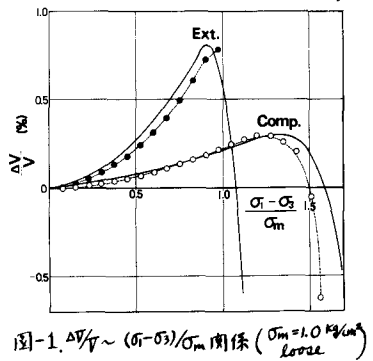


図-1.  $\Delta V/V \sim (\sigma_1 - \sigma_3)/\sigma_m$  関係 ( $\sigma_m = 1.0 \text{ kg/cm}^2$ , loose)<sup>2), 3)</sup>

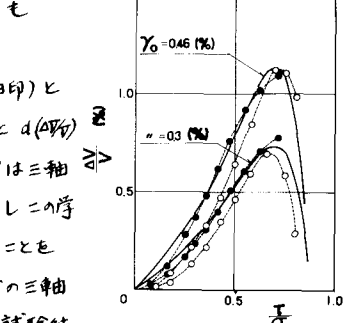
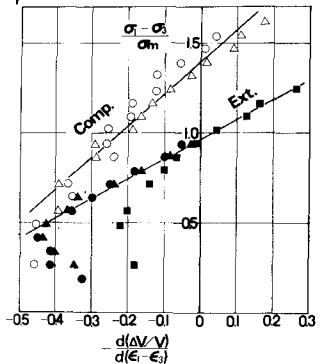


図-2.  $\Delta V/V \sim T/\sigma_m$  関係



ある点は石原・龍岡・安田<sup>6)</sup>によると「変相点」と呼ばれているもの<sup>2)</sup>あるが、その物理的意味はダイレクタンジ- $(\Delta T/V)$ の最大圧縮点(極小点)と考えられる。

著者の主応力比～ひずみ増分比関係式<sup>3)</sup>は  $d(\Delta T/V) = d\epsilon_1 + 2d\epsilon_3 = 0$  (三軸圧縮),  $d(\Delta T/V) = 2d\epsilon_1 + d\epsilon_3 = 0$  (三軸伸張) なる条件を入れると共に次式を得る。  

$$\sigma_1/\sigma_3 + \{4\mu/(\lambda-2)\} \cdot \sqrt{\sigma_1/\sigma_3} - 1 = 0$$

上式に相模川砂の係数値  $\lambda=1.2$ ,  $\mu=0.28$  を代入すれば  $\sigma_1/\sigma_3 = 3.69$ ,

したがって  $\tau/\sigma_N = 0.70$  と得る。この値は 図-2 のダイレクタンジの極

小点の  $\tau/\sigma_N$  の値とでも、図-6 に有効応力経路が反転する点の  $\tau/\sigma_N$  の値とでもほぼ等しいことがあることがわかる。また図-6において

$\tau/\sigma_N$  強度時の  $\tau/\sigma_N$  の値が「三軸圧縮と三軸伸張」同じ値となるのは、土が

Mohr-Coulomb の破壊規準に従うことを示している。TFが図-5, 6中の実線の曲線は著者の考え方にもとづく計算曲線を示すが、詳細は文献

2), 3) を参照されたい。また図-7 は Rendulic の応力面上の応力経路の計算例を示したものである。土の係数値として  $\lambda=1.2$ ,  $\mu=0.30$ ,  $\mu'=0.42$ ,

$\gamma_0=1.0\%$ ,  $C_c=0.24$ ,  $\epsilon_i=0.897$  を用い、 $\sigma_m$ だけを変化させて計算した。

以上より、土のせん断特性は  $\tau/p = (\sigma_1-\sigma_3)/\sigma_m$  は  $\tau < 2\tau/\sigma_N$  (三軸

圧縮・伸張の場合は  $\sigma_1/\sigma_3$  が限界となる) によるとユニークに規定されると考えられ

る(このことは著者の応力～ひずみ関係式からも見えることである)。また

これは小ねじがったが、多軸応力 ( $\sigma_1 \geq \sigma_2 \geq \sigma_3$ ) 条件の場合でも複

合モービライズ面の各々の面上の  $\tau/\sigma_N$  によると支配されると考えれば実

測値よく説明できることがわかる。これらの事実より、土は

通常の間隔をもつては基本的には摩擦法則に従う材料であると考えられる。

例えば、モービライズ面上で成立する上の基本式

$\tau/\sigma_N = \lambda \cdot (-d\epsilon_N/d\gamma) + \mu$  は表面に凹凸がある場合の

摩擦法則に對応する形にすぎない。破壊時に Coulomb の破壊規

準に従う材料が、せん断の途中における Coulomb 则に支配されると言

えろることはさほど不自然ではないようと思われる。

### 謝辞

本研究に対して御指導を賜わった京都大学・村山朝郎教授、同・紫田徹教授、神戸大学・輕部大蔵助教授、資料を送りたいだいた建設省土木研究所・龍岡文夫氏に謝意を表します。また粒状体のセミナー等による議論し合った東京大学土質研究室の方々にも感謝致します。

### 参考文献

1) 龍岡文夫・笠穎司: 三軸装置における砂の応力～ひずみ特性(第3報), 第7回

土質工学研究発表会, 1972, pp. 165-168. 2) 松岡元: 多軸応力下の土の

応力～ひずみ関係について, 第8回土質工学研究発表会, 1973, pp. 227-230.

3) 松岡元: 3主応力下の土の応力～ひずみ関係について, 京大防災研究所年報第16号B, 1973. 4) 村山朝郎・松岡元・北川良介: 粘性土の応力～ひずみ

関係について, 土木学会第28回国際講演会, 1973. 5) Schofield, A. N. and Wroth, C. P.: Critical State Soil Mechanics, McGraw-Hill, London, 1968. 6) 石原研而・龍岡文夫・安田進: 飽和砂のくり返し排水せん断特性, 土木

学会第27回年次講演会, 1972, pp. 177-180. 7) Bowden, F. P. and Tabor, D.: The Friction and Lubrication of Solids, Oxford, 1954.

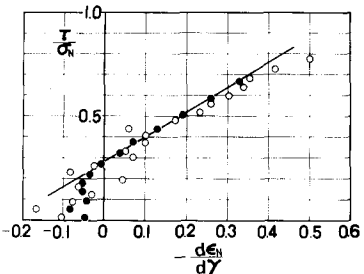


図-4.  $\tau/\sigma_N$  ~  $-d\epsilon_N/d\gamma$  関係

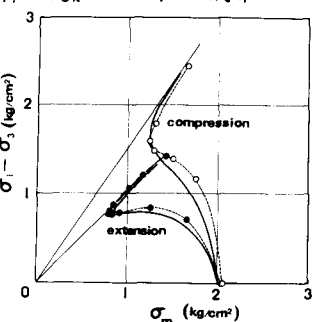


図-5.  $\tau/(\sigma_1-\sigma_3)$  ~  $p/(\sigma_m)$  関係

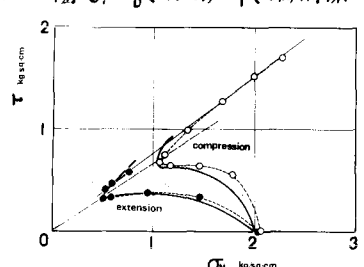


図-6.  $\tau$  ~  $\sigma_N$  関係

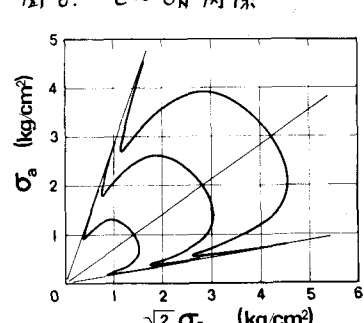


図-7. Rendulic の応力面上の有効応力経路<sup>3)</sup>

3) 松岡元: 3主応力下の土の応力～ひずみ関係について, 京大防災研究所年報第16号B, 1973. 4) 村山朝郎・松岡元・北川良介: 粘性土の応力～ひずみ